

## دراسة تآكل ملحومنات من النحاس في أوساط ملحية وحامضية

إحسان فاضل عباس	فارس موسى روفا	جودت علي يعقوب
مدرس مساعد	مدرس	مدرس
الكلية التقنية كركوك		

### الخلاصة

أنجزت الدراسة الحالية بعرض عينات من الملحومنات النحاسية التي حضرت بعمليات اللحام بالأوكسي أستيلين لأنبوب نحاسي باستخدام سبيكة البرونز كمعدن حشو إلى محليل مائية ملحية وحامضية بتركيز (3, 1.5, 0.5) wt% NaCl و (2, 1.5, 0.5) wt% H<sub>2</sub>SO<sub>4</sub> على التوالي . أظهرت سلوك تآكل الملحومنات في المحاليل الملحية عموماً انخفاض معدلات التآكل مع زيادة زمن التعريض ونفس الشئ بالنسبة للملحومنات المعروضة إلى محلول الحامضي بتركيز 0.5wt% H<sub>2</sub>SO<sub>4</sub>) ، بينما انخفضت معدلات تآكل الملحومنات المعروضة إلى المحاليل الحامضية بتركيز 0.5wt% H<sub>2</sub>SO<sub>4</sub> (أو 2) لحين بلوغ فترة التعريض(288hr) ثم بدأت بالزيادة نسبياً مع زيادة فترة التعريض.

كما بينت نتائج معدلات التآكل الإجمالية (Cr<sub>T</sub>) المحسوبة بأن قيمها كانت أعلى للملحومنات المعروضة إلى المحاليل الحامضية إذا ما قورنت مع تلك العائدة للملحومنات التي عرضت إلى المحاليل الملحية لفترة (696hr). علاوة على ذلك لقد بين الفحص بالمجهر الضوئي تعرض مناطق اللحام للملحومنات المعروضة إلى المحاليل الملحية والحامضية إلى التغير ، بينما كان التآكل العام هو السائد لجزء النحاسي من هذه الملحومنات في المحاليل المستخدمة.

**الكلمات الدالة:** تآكل النحاس في الأوساط الملحية والحامضية، تآكل الملحومنات النحاسية

### المقدمة

بصورة واسعة في أنظمة تجهيز الماء [4] وفي المحطات الكيميائية والصناعية ومحطات توليد القدرة وأجهزة التبريد والتكييف [6, 5, 3]. تمتلك المنتجات النحاسية عموماً مقاومة جيدة للتآكل في الماء [7] والأجزاء واء الاعتيادية والصناعية والبحرية وفي الحوامض الخالية من الأوكسجين وعوامل مؤكسدة أخرى [8]. تزداد نشاطية محلول المائي الملحى بوجود أيونات (Cl<sup>-</sup>) وزيادة تركيزها الناتجة من احلال جزيئات (NaCl)

بعد النحاس الفلز الثالث بعد الحديد والألمنيوم من حيث الوفرة والاستخدام ويلك هذا الفلز طروقية جيدة وتوصيلية حرارية وكهربائية حسنة [1, 2]. لقد شكل النحاس لوحده في عام 1995 نسبة 14.5% من الأنابيب المصنوعة في الولايات المتحدة الأمريكية، أذ تستخدم هذه الأنابيب في المبادرات الحرارية التي تتعامل مع الماء الاعتيادي Fresh Water [1, 3]. كما تستخدم هذه الأنابيب

( صنع شركة FLUKA AG. CHEM. FABRKCH, 9470 Buchs المبين في الجدول رقم (1) بنسبة 10%wt إلى منصهر النحاس الناتج من صهر قطعة من نفس نوعية الأنبوب النحاسي المستخدم في الدراسة الحالية بالفرن الكهربائي وعند درجة حرارة (1150°C) ثم صبت على هيئة أسلاك في قالب معدني .  
 1-حامض الكبريتิก المركز ( H<sub>2</sub>SO<sub>4</sub> ) chem.. ( H<sub>2</sub>SO<sub>4</sub> ) Pure ( 95 - 97%)  
 M=98.08 gm/ r mol . Slease – Riede- Dehaen, AG- Hannove-Germany.  
 2- ملح كلوريد الصوديوم ( NaCl ) بنقاوة (%)99.5 صنع شركة Fluke Garantie (Fluke Garantie) السويدية.  
 3-ماء مقطر رقم الأُس الهيدروجيني له (PH=7.4).  
 4- محلول إظهار ( كلوريد الحديديك الخامضي ) حضر أثناه عملية الإظهار باستخدام ( 1gm ) كلوريد الحديديك ( 3cm<sup>3</sup> ) حامض الهيدروكلوريك ( HCl ) ( 12cm<sup>3</sup> ) ماء مقطر .  
 5- منظومة لحام أوكيسي-أستلين .  
 6-ميزان حساس نوع ( Precisa ) موديل ( XB220A ) دقه ( 0.1mg ) .  
 7-مجهر ضوئي مزود بأله تصوير نوع Trindcular Metallurgical Microscope [ Model BEAM rmm-vt2003/INDIA ]  
**خطوات العمل**

أنجزت متطلبات الدراسة الحالية وفق الخطوات الآتية :-

- 1- حول الأنبوب النحاسي بعملية القطع والأشتعال بالطرق بمطريقه مطاطيه الى صفيحة التي قطعت فيما بعد طوليًّا الى جزئين متباينتين .
- 2- أجري لحام الجزئين بعمليات لحام الأوكيسي استلين باستخدام لهب معتدل وأسلاك الحشو

أثناء عملية التآكل تساهم ا في زيادة وتيرة تمزق الطبقة الخامدة على سطح الفلز التي تحميه من التآكل وبدورها زيادة سرعة ومعدل التآكل <sup>[10,9]</sup>. كما تختفي وتستقر معدلات تآكل النحاس مع زيادة فترة التعريض بسبب نواج التآكل الذي يعمل أولاً على خفض كمية الأوكسجين الواصل لسطح الفلز كما أشار إليه <sup>[9]</sup>، ثانياً فيماه على خفض توصيلية المناطق الأنودية من سطح العينة <sup>[3]</sup>. يتعرض الأنابيب المستخدمة في أجهزة التبريد والتكييف وفي المبادرات الحرارية عادة إلى التآكل وذلك بعد ربط هذه الأنابيب بهذه المنظومات بعمليات اللحام بالأوكسي أستلين المتبع بصورة واسعة <sup>[11]</sup> ، إذ تقسم المنطقة التي تلي منطقة اللحام عادة بضعفها بسبب الأجهادات الحرارية المتبقية فيها بعد عمليات اللحام تلك إضافة إلى بعض العيوب التي قد تتشاء في منطقة اللحام <sup>[12]</sup> . لأجل التحقق من تأثير عمليات اللحام هذه على مقاومة تآكل الأنابيب الخامضية الملحومة فقد استهدفت الدراسة الحالية دراسة مقاومة التآكل لملمومات نحاسية حضرت بعمليات اللحام بالأوكسي أستلين في أوساط حامضية مخففة من حامض الكبريتيك (H<sub>2</sub>SO<sub>4</sub>) وأخرى ملحية من ملح كلوريد الصوديوم (NaCl) علاوة على ذلك ملاحظة التغيرات الحاصلة على أسطح المللمومات بفعل أوساط التآكل .

#### المواد والأجهزة المستخدمة

- 1- أنبوب نحاسي بقطر ( 12.5 ) المبين نتيجة فحصه بحیود الأشعة السينية في الشكل ( 1 ) .
- 2- سبيكة حشو ( Filler Alloy ) نوع برونزي قصدير ( Tin Bronze ) صنعت تحديداً لهذه الدراسة بإضافة فلز القصدير على هيئة أقراص

هذه العينات بعد فترة (20 hr) ثم غسلت أسطحها بالماء ومسحت بالقطن بعدها جففت بفرن التجفيف الكهربائي عند  $^{\circ}\text{C}$  (105) ثم وزنت بالميزان الحساس لتحديد قيمة الوزن الجديد (W1) لكل عينة.

6- أعيدت الخطوة ( 5 ) لهذه العينات لثلاث مرات أخرى وبعد فترات عمر (408,220,48) hr وقيست الأوزان الجديدة (W4,W3,W2) على التوالي.

7- حسبت معدلات تأكل العينات الكبيرة (Cr<sub>4</sub>,Cr<sub>3</sub>,Cr<sub>2</sub>,Cr<sub>1</sub>) بوحدات (mpy) لكل عينة بتطبيق العلاقة الآتية [13]:

حیث:

$\Delta W$ : التغيير الحاصل في الوزن عوضت عنهما  
 $(\Delta W_4, \Delta W_3, \Delta W_2, \Delta W_1)$  بـ

D: كثافة النحاس  $8.96 \text{ gm/cm}^3$  (لم يتم الأخذ  
 بنظر الاعتبار الشوائب التي قد تتوارد غالباً)  
 بنسب ضئيلة مع النحاس وبدورها تأثيرها الضئيل  
 على قيم معدلات التآكل المحسوبة).

A: المساحة السطحية  $\text{Inch}^2$ .

T: زمن الغمر عوضت عنه بالفترات  
. (408,220,48,20)hr

8- حسبت معدل التآكل الإجمالي ( $Cr_T$ ) لكل عينة بالتعويض عن ( $T$ ) بفترة العمر الكلية البالغة (696)hr وعن ( $\Delta W$ ) بالمقدار ( $\Delta W_T$ ) لكل عينة والتي حسبت كالتالي:

المحضرة المشار إليه في الفقرة (2) أعلاه في  
الجزء الخاص بالمواد والأجهزة المستخدمة .

قطعت جزء من الملحومة النحاسية إلى عينات 3-  
كبيرة بأبعاد  $cm^2 (3 * 2)$  ، بعدد (6) ، ثم تقطت هذه  
القطع من أحدي نهايتيها بقطر ( 2 mm ) ، بينما  
قطع الجزء الآخر إلى عينات صغيرة بنفس العدد (6)  
بأبعاد  $cm^2 (1*3)$  ثيت من نهايتيها بمقدار (3mm).

نقر بيا .

4-سويت ونعملت وجهي العينات الكبيرة جميعاً بعملية التعيم **الرطب** بأسستخدام أوراق تعيم مختلفة الدرجات وصولاً إلى (1000) درجة ثم غسلت بتيار من الماء الجاري ، بالماء المقطر ثم بالكحول فجففت بالفرن **الكهربائي** عند  $105^{\circ}\text{C}$  للتخصل من الرطوبة التي تؤثر على قيم الوزن الأولى ( $W_0$ ) المقاسة للعينات وبدورها على معدلات التآكل المحسوبة ، ثم وزنت بالميزان الحساس لتحديد الوزن الأولى ( $W_0$ ) لكل عينة .

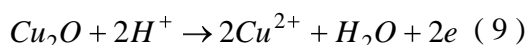
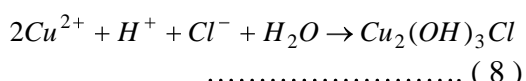
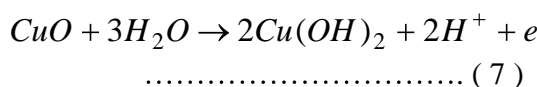
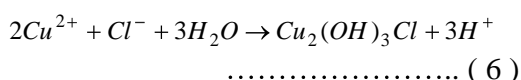
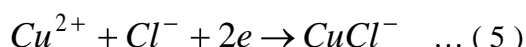
أُسندت العينات الصغيرة على البارد باستخدام بوليمر الإسناد الخاص كما موضح في الشكل (2)، ثم أجريت عمليات التعيم الربط والصقل ثم غسل سطحها بالماء الجاري ، بالماء المقطر ثم بالكحول بعدها جفت ، تبعها ظهار عينة واحدة بتعريف سطحها لاحظ الإظهار كلوريد الحديدي الخامضي ثم غسل سطحها بالماء المقطر فجففت بعدها أجري الفحص والتصوير المجهرى، أعيدت عملية الصقل لهذه العينة مرة أخرى ليتسنى استخدامها مرة أخرى مع العينات الصغيرة لاحقا".

5- غمرت عينة واحدة من العينات الكبيرة في كل وسط من الأوساط الملحيّة والحامضية المخففة البيئيّة في الجدول (2) لدراسة سلوك تأكلها بتعليقها شاقوليًا وعند نفس العمق تحت سطح المحاليل ثم أخرجت

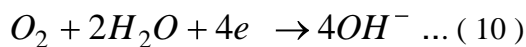
ذرات النحاس في المحلول المائي المحتوي على ملح  $\text{NaCl}$  وفق التفاعلات الآتية<sup>[4]</sup>:



تساهم ايون الكلوريد ( $\text{Cl}^-$ ) وجزيئات ( $\text{H}_2\text{O}$ ) وايون ( $\text{H}^+$ ) في تأكل النحاس والاكاسيد المتكونة على سطح النحاس في المحلول من خلال التفاعلات الآتية<sup>[17,16,4]</sup>



كما تساهم جزيئات ( $\text{O}_2$ ) و( $\text{C}_2\text{O}$ ) الذي يذوب في المحلول المائي الملحي من الجو المحيط في انحل ذرات النحاس وتكوين مركبات أخرى حسب التفاعلات الآتية:



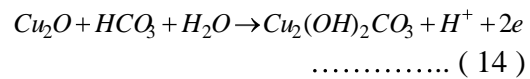
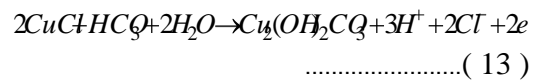
9- عرضت (6) عينات صغيرة مسندة على البارد لنفس المحاليل التي عرضت مثيلاتها من العينات الكبيرة المبينة في الجدول (2) ولكن لفترة غمر واحدة بلغت (220hr) ثم أخرجت من المحاليل وغسلت بالماء المقطر ومسحت أسطحها بالقطن بصورة جيدة لإزالة الترسيبات الناتجة من عملية التآكل والعلاقة بأسطح هذه العينات التي تسهل إزالتها إن وجدت ثم غسلت مرة أخرى بالماء المقطر فجفت ثم صورت أسطحها بالمجهر الضوئي.

### النتائج والمناقشة

أولاً: "سلوك ومعدلات تأكل الملحومات النحاسية يلاحظ من الشكل (3) سلوك تأكل الملحومات النحاسية في المحاليل الملحة ، إذ بدأ تأكل العينات بمعدلات عالية نسبياً عند التعرض لفترة (20hr) ثم انخفضت مع زيادة فترة التعرض إلى (48hr) بشكل ملحوظ ثم حدث انخفاض متزايد فأستقرار في سلوك التآكل مع زيادة الفترة إلى (220hr) فأكثر عند معدلات تأكل متدنية . كما يظهر من الشكل (3) أيضاً زيادة معدل تأكل العينات وتحديداً عند (20hr) مع زيادة تركيز الملح من (0.5wt%) إلى (1.5wt%) وحدث زيادة ملحوظة عند زيادة التركيز إلى (3wt%) ، فتراوحت قيمتها للعينة المغمورة في المحلول بتراكيز (3wt%NaCl) بين (1.2-3.95)mpy وهي أعلى نسبياً من التي وردت في المصادرين<sup>[6,3]</sup> وباللغتين على التوالي (1.34) mpy (0.4-1) mpy بسبب خصوص الملحومات في الدراسة الحالية في الوسط الأكل إلى التأثير الجلفاني الناتج من سلوك منطقة اللحام البرونزي (سلك الحشو) ككاشود وتحول المناطق النحاسية المجاورة إلى أنسود<sup>[15,14]</sup>.

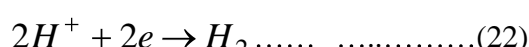
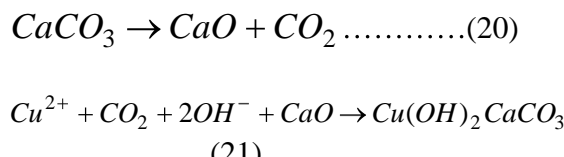
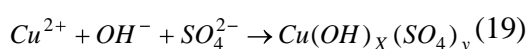
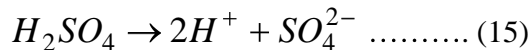
السطحية العلوية من هذه الملحومات التي ازدادت كميتها والمساحة التي تغطيها من سطح الملحومة بزيادة تركيز (NaCl) في محلول ومع زيادة فترة التعريض رغم غمر العينات بتعليقها شاقوليا في المحاليل وبدوره انخفض مقدار المساحة السطحية الفعلية من الملحومة المعرضة إلى التآكل ، فالشكل (A-4) يوضح نواتج التآكل المحتوية على شقوق ذات اللون الأزرق المائل إلى الأخضر ، والشكل (B-4) يوضح مقطع عرضي لهذه النواتج المترسبة ، وعليه فالانخفاض المستمر في معدل تآكل الملحومات النحاسية الموضحة في الشكل (3) مع استمرار تعريضها للمحاليل الملحية ستكون النتيجة المنطقية .

أما مالخص معدلات التآكل الإجمالية ( $Cr_T$ ) للملحومات المغمورة في المحاليل الملحية المبنية في الشكل (5) ، فيظهر زیادتها عموما مع زيادة تركيز (NaCl) من (0.5wt%) إلى (3wt%).  
 لأجل التحقق من هذه نتائج معدلات التآكل الإجمالية ( $Cr_T$ ) تلك فتم اعتماد معدل تآكل النحاس المغمور في محلول كلوريد الصوديوم (0.5N) عياري أي بتركيز (3wt% NaCl) والبالغة قيمتها (3.5 mpy) الذي ورد في المصدر [9] كأساس ، إذ يلاحظ بان معدل التآكل الإجمالي ( $Cr_T$ ) للعينة المغمورة في المحلول المائي المحتوي على (3wt% NaCl) هي (4.97mpy) فهي أعلى. فهذه النتيجة منطقية لسببين، الأول هو التأثير السلبي لعملية اللحام على عدم انتظام البنية المجهرية للملحومة ابتداءً من منطقة اللحام بعيدا عنها باتجاه الفلز الأساس (الأنبوب النحاسي) مع استبقاء الإجهادات الحرارية في الملحومة [11] أما الثاني ؛ فهو التأثير الجلفاني الناشيء بين منطقة اللحام البرونزي التي تكون كثيرة



لقد أشار الباحث (ADELOJU) [4] إلى إمكانية تفاعل ايون ( $Cu^{2+}$ ) وبصورة جيدة عند قيم اقل من (8.88) مع (CuCl) والمركيبات المشتقة منها مثل

تظهر هذه السلسلة المعقّدة من التفاعلات إلى المساهمة بفاعلية لايون ( $Cl^-$ ) بصورة مباشر وغير مباشر في التفاعلات (13, 6, 8, 5) وبدورها إلى مساهمتها الفاعلة في الارتفاع الملحوظ في قيم معدلات تأكّل الملحومات النحاسية في المحاليل الملحيّة . بينما يعزى الهبوط الملحوظ في معدل تأكّل الملحومات النحاسية في المحاليل الملحيّة إلى نواتج التأكّل تلك التي ترسّبت على المساحة



وعلية فان التأثير الفعلي لايونات ( $SO_4^-$ ) يقتصر على التفاعلات (17,18) من جانب آخر يعزى معدلات الناكل العالية نسبياً للملحومات المعرضة للمحاليل الحامضية لفترة (220hr) ثم زياتها مع زيادة زمن التعرض إلى احتفاظ المحاليل الحامضية لشاططيتها لفترات أطول بسبب اعتماد تفاعلات الأكسدة فيها على أيون ( $H^+$ )<sup>[18]</sup> كما يظهر في التفاعل (22) فتركيز أيون ( $H^+$ ) العالي في هذه المحاليل يحافظ على ديمومة هذا التفاعل .

يبينما لا يحدث التفاعل (22) في المحاليل التي تحتوي على ملح ( $\text{NaCl}$ )<sup>[19]</sup> إذ تشتراك أيونات  $\text{H}^+$  بصورة غير مباشرة في تكوين نواتج تفاعل أخرى ، كما تكون محاليل كلوريد الصوديوم قاعدية إذ قيمة الأس الهيدروجيني له تكون أكبر من (7.6) إذا فأن مساهمة هذه الأيونات ستكون أقل في المحاليل

المحاور اتها النحاسية التي تصبح أنود [15,13] أما ما يخص سلوك تأكل الملحومات النحاسية في المحاليل الحامضية المبينة في الشكل (6) فيلاحظ اختلافها عن سلوك تأكلها في المحاليل الملحية الأنفة الذكر من الجوانب الآتية :

١-ابتداء التناكل عند التعريض لفترة (20hr) عند تركيز  $H_2SO_4$  (2wt%) أي ما يعادل (عياري 0.4 ) بمعدلات أقل إذا ما قورنت مع قيم معدل التناكل للملحومة النحاسية المغمورة في محلول الملحى المحتوى على (3 wt% NaCl) أي (0.5 عياري).

2- انخفاض معدلات تأكيل الملوّمات المعرضة إلى المحاليل الحامضية المبيّنة في الشكل (6) عموماً عند الفترات الزمنية المحصورة بين hr(696-220) بنسبة أقل من مثيلاتها المعرضة إلى المحاليل الملحية

3-زيادة معدلات تأكل الملحومنات المعرضة إلى المحاليل بتركيز  $(H_2SO_4)$  (2,1 wt%) مع زيادة فترة التعرض عن (220hr) ، يعكس معدلات تأكل الملحومنات المعرضة إلى المحاليل الملحية التي انخفضت باستمرار مع زيادة فترة التعرض كما مبين في الشكلين (3) و (6).

بالنسبة للملحومات المغمورة في المحاليل الحامضية المخففة من الحامض ( $H_2SO_4$ ) يستبعد تكوين كل من المركبات ( $Cu_2O, Cu(OH)_2$ ) بسبب تكوين هذه المركبات عند قيم (PH) محصورة بين 7.0-12.4<sup>[4]</sup> ، بينما كانت قيم (PH) للمحاليل الحامضية المستخدمة في الدراسة الحالية و المقاسة قد تتراوحت بين PH (2.6 - 1.63) ، في هذه الحالة فإن التفاعلات الممكن حدوثها هي:

حسب التصنيف الذي ورد في المصدر<sup>[18]</sup> كما مبين في الجدول (3).

#### ثانياً: ظهور تأكل الملحومنات النحاسية

يوضح الشكل (8) اثر خطوط التشكيل على سطح الأنبوب النحاسي المستخدم في تحضير الملحومنات مع وجود بعض النقر السوداء الصغير. أما الشكل (9) فيوضح البنية المجهرية للأنبوب بعد إجراء الأظهار بمحلول كلوريد الحد يديك الحامضي. أما الشكل (10) فيوضح البنية المجهرية لمنطقة اللحام في الملحومنات المكونة من سبيكة البرونز القصديرى المكونة من أرضية شبه داكنة اللون من المحلول الجامد ( $\alpha$ ) من القصدير مذاب في النحاس والتطور الشانوى اليوتكتويد ( $\delta$ ) المكونة ضمناً من  $Cu_{31}Sn_8 + \alpha$  (كما ورد ذلك في المصادرين<sup>[21,20]</sup>).

#### أ- ظهور تأكل الملحومنات النحاسية في الأوساط الملحية

أصبحت لون منطقة اللحام للملحومة المعرضة إلى المحلول الملحى بتركيز (0.5wt%NaCl) فاتحاً عموماً كما يوضح ذلك (الجزء الأيمن) من الشكل (11)، مع اختفاء طور اليوتكتويد واحتوائها على بعض النقر السوداء الصغيرة. أما المنطقة النحاسية المجاورة فبدت بلون رصاصي فاتح وحدث تأكل بمعدل اكبر في المنطقة البنية الفاصلة بين منطقة اللحام والنحاس وتحولت إلى خط غامق اللون كبيرة العرض نسبياً في بعض المناطق وأقل عرضاً في مناطق أخرى . بزيادة تركيز الملح إلى (1.5wt%NaCl) أصبحت منطقة اللحام أكثر سطوعاً مع زيادة عدد النقر السوداء الصغيرة الحجم فيها بالمقابل تحول لون المنطقة النحاسية إلى لون داكن نسبياً مع تكوين نقر سوداء اللون دائريه الشكل

المائية المالحية. يعزى زيادة معدلات التآكل بزيادة فترة التعريض للمحلولين الحامضين بتركيز (2, 1) wt% H<sub>2</sub>SO<sub>4</sub> عن (220hr) إلىبقاء الفرق بين المساحات الكاثودية والأنودية كبيرة نسبياً وبدوره زيادة انحلال الذرات السطحية من المساحات الانودية من سطح الفاز إلى المحلول ، من جانب آخر فزيادة معدلات التآكل الإجمالية (Cr<sub>T</sub>) للملحومنات في المحاليل الحامضية المبنية في الشكل (7) مع زيادة تركيز الحامض يتفق مع ما ورد في المصدر<sup>[6]</sup> الذي أشار إلى زيادة معدلات تأكل النحاس مع زيادة تركيز حامض (H<sub>2</sub>SO<sub>4</sub>) في المحلول المائي بسبب زيادة تركيز ايونات (H<sup>+</sup>) في المحلول وبدوره حدوث حالة عدم اتزان في منظومة التآكل (الملحومة النحاسية والمحلول الحامضي) ولأجل إعادة الاتزان إلى منظومة التآكل فتميل هذه الايونات بالتحول إلى الحالة الذرية باكتسابها الكترون من الموضع الكاثودية على سطح الملحومة وباتحاد ذرتي هيدروجين تتكون جزيئه (H<sub>2</sub>) التي تجتمع مجموعة منها مع بعضها الآخر وتتحرر على هيئة فقاعات غازية خارج المحلول ولحدوث هذه التفاعلات بانسيابية يحدث زيادة في سرعة انحلال ذرات النحاس الموجودة في المناطق الانودية من سطح الملحومة التي تتجه إلى داخل المحلول وهكذا يزداد معدل تآكل النحاس . لقد جاءت قيم معدلات التآكل الإجمالية (Cr<sub>T</sub>) للملحومنات المعرضة إلى المحاليل الحامضية المحسورة بين (6.78-10.99) متفقة مع معدلات تآكل النحاس في المحاليل الحامضية بتركيز (0 إلى 30) wt% H<sub>2</sub>SO<sub>4</sub> (0 إلى 100) درجة حرارة C° (20mpy) الذي ورد في المصدر<sup>[13]</sup> . كما يمكن تضييف تآكل الملحومنات النحاسية في المحاليل الملحية والحامضية

### بـ مظاهر تأكل الملحومنات النحاسية في الأوساط الحامضية

يوضح الشكل (16) مظاهر تأكل الملحومنة المعرضة إلى محلول الحامضي المحتوي على (2wt%  $H_2SO_4$ ) ، إذ تعرض منطقة اللحم (الجزء الأيمن من الشكل (16)) في بعض المساحات إلى التأكل بتحولها إلى لون داكن نتيجة اتصال نقر صغيرة مع بعضها الآخر مع حدوث تأكل عند منطقة اللحم لحمانية للدفلصل أيضاً، بينما تعرض لجزء لحمي للتآكل العلم وتحول إلى لون داكن في معظم المساحات مع بقاء المنطقه لقليله لغير لمتكلة بسطوع أكبر. ويعبر الشكل (17) بصورة أدق عن لقر لسوداء شبه لمنظمه لخلفه الأحجام المتكونة في منطقة اللحم مع تغيير شكل ولوبي بنية منطقة اللحم الموضحة في الشكل (10) لتد ترکز تكوبن لقر لصغيرة لسوداء غالباً عـد المنطقه لحمانية بين الأرضية (المحلول الجامد a) والبنية الشجيرية (اليونكتود) وكما هو موضح في الجزء الكبير من نفس الشكل (17) والمثبت في الركن العلوي الأيمـن منه وذلك بسبب تكوين الخلايا الجلفانية المجهريـة بين الطورين . لقد تكونت بعض تشققات اللحم الطولـية في منطقة اللحم التي امتدت لمسافات طويلة نسبـياً محولة بذلك المناطق المحاذية لها على طول امتدادها إلى منطقة كاثودية بيضاء كما موضح في الشكل (18) والمؤشر عليها بالسهم الأسود كما يوضح الشكل (19) تشققات اللحم التي ظهرت في ملحومة أخرى ، كما نشأت تشققات اللحم ايضاً عند حفافـات الفجوات الكبيرة الناتجة من عمليـات اللـحم كما مـبين في الشـكل (20) . بسبب استخدام سبيكة حـشو من البرونـز القصـديرـي ، إذ تـعرض هـذه السـبيـكة إـلى القـصـديرـة على السـاخـن ( Hot Shortness ) كما ورد ذلك في المصـدر [11] ، حيث يـزيد وجـود القـصـديرـ من قـابلـيـة السـبيـكة للتحـسـن للـشقـق على السـاخـن ( Hot

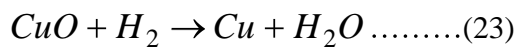
بـ أحـجام مـخـتلفـة ماـ يـدل زـيـادة تـأكل المـلحـومـة كـما هو مـوضـح فـي الشـكـل (12) ، بـزيـادة تـركـيز المـلحـ إلى (3wt%) تحـول لـون مـنـطـقة اللـحـام عـومـاً إـلـى اللـون الأـسـدـ وـ أحـتوـت عـلـى نـقـر كـبـيرـة الحـجـم نـسـبيـاً" كذلك أـصـبـحـت لـونـ المـنـطـقةـ الـبـيـنـيـةـ دـاكـناـ أـيـضاـ" ماـ يـدلـ عـلـى حدـوثـ التـآـكـلـ عـنـدـهـاـ بـالـفـعـلـ الـجـلـفـانـيـ بـمـعـدـلـ أـكـبـرـ منـ المـنـاطـقـ الـمـجاـوـرـةـ لـهـاـ بـاتـجـاهـ الـنـحـاسـ ذـيـ القـنـاتـهـ الـأـقـلـ نـسـبيـاً" وـهـذـهـ الـمـلـاحـظـاتـ يـتـضـحـ فـيـ الشـكـلـ (13) . أماـ الشـكـلـ (14)ـ فـيـوضـحـ الـبـيـنـيـةـ الـمـجـهـرـيـةـ لـلـجـزـءـ الـنـحـاسـيـ مـنـ الـمـلـحـومـةـ الـبـيـعـدـ مـنـ مـنـطـقةـ اللـحـامـ الـمـعـرـضـةـ إـلـىـ الـمـلـحـولـ الـمـلـحـيـ بـتـركـيزـ (0.5wt%NaCl) . حيثـ يـبـدوـ السـطـحـ بـلـونـ فـاتـحـ نـسـبيـاً" مـعـ اـحـتوـائـهـ عـلـىـ خـطـوطـ مـتـصـلـةـ أـحـيـاناـ" مـعـ بـعـضـهـاـ الـأـخـرـ وـالـتـيـ تـمـثـلـ حدـودـ الـحـبـيـبـاتـ الـمـضـلـعـةـ وـالـطـولـيـةـ الـتـيـ حدـثـتـ عـنـدـهـاـ التـآـكـلـ بـمـعـدـلـ أـكـبـرـ مـرـاكـزـ الـحـبـيـبـاتـ بـالـلـونـ الـأـكـثـرـ سـطـوـعاـ . بـزـيـادةـ تـركـيزـ الـمـلـحـ إـلـىـ قـيمـ أـعـلـىـ تـعـرـضـتـ الـمـنـطـقةـ الـنـحـاسـيـةـ مـنـ الـمـلـحـومـةـ الـبـيـعـدـ مـنـ مـنـطـقةـ اللـحـامـ إـلـىـ تـآـكـلـ أـكـبـرـ فالـشـكـلـ (15)ـ يـظـهـرـ الـبـيـنـيـةـ لـلـمـنـطـقةـ الـنـحـاسـيـةـ مـنـ الـمـلـحـومـةـ عـنـدـ تـعـرـضـيـهاـ لـلـمـلـحـولـ الـمـلـحـيـ الـمـحـتـويـ عـلـىـ (3wt%NaCl) . إذـ أـصـبـحـتـ لـونـ الـمـسـاحـاتـ الـمـتـآـكـلـةـ قـاتـمـاـ نـسـبـةـ إـلـىـ اللـونـ الـفـاتـحـ لـلـمـنـاطـقـ الـأـقـلـ تـآـكـلـ" ، هـذـهـ الـقـنـاتـهـ فـيـ اللـونـ (أـيـ الـمـنـاطـقـ الـسـوـدـاءـ فيـ الشـكـلـ (15)ـ الـبـيـعـدـ عـنـ سـطـحـ الـمـلـحـولـ الـمـائـيـ وـبـاتـجـاهـ الـعـقـمـ يـعـودـ إـلـىـ نـوـاتـجـ التـآـكـلـ الـمـنـكـوـنةـ عـنـ الدـرـجـاتـ الـتـيـ تـسـاـوـيـ أوـ أـقـلـ مـنـ (50°C)ـ هـيـ (Cu(OH)<sub>2</sub>)ـ وـأـوكـسـيدـ (Copper II Hydrate Cu(OH)<sub>2</sub>)ـ كـماـ ذـكـرـهـ (ADELOUJ)ـ الـنـحـاسـيـكـ (Cu<sub>2</sub>O)ـ كـماـ ذـكـرـهـ (Thomas)ـ وـآـخـرـونـ [4]ـ عـلـىـ سـطـحـ الـنـحـاسـ الـذـيـ يـتـمـيـزـ بـلـونـهـ الـدـاكـنـ كـماـ أـورـدـ ذـكـرـهـ (Thomas)ـ [10]ـ .

يشير اللون الداكن إلى تكوين أوكسيد النحاسيك (Thomas) ( $Cu_2O$ )<sup>[10]</sup> ، ومن الجدير بالذكر فإن مظاهر تأكل الملمومات التي عرضت إلى المحاليل الحامضية المحتوية على ( $H_2SO_4$  0.5 و 1 ) لنفس الفترة البالغة ( 220hr ) كانت أقل فتامة. هذه الأشكال تؤكد حقيقة تعرض مناطق اللحم عموماً في الأوساط الملحيّة والحامضية إلى تضرر أكبر من حيث التآكل وتعودت مظاهره قياساً "بالجزء النحاسي البعيد عن منطقة اللحم مما يؤكد حقيقة الملاحظات العملية حول حدوث غالبية الفشل في الأنابيب النحاسية المربوطة باللحام في منظومات التبريد وغيرها في مناطق اللحم .

### الاستنتاجات

- 1- بدأت تأكل الملمومات النحاسية المبينة في المحاليل الملحيّة والحامضية وبصورة عامة بمعدلات تأكل عالية فانخفضت مع مرور الزمن .
- 2- كانت معدلات تأكل عند (20hr) للملمومات في المحاليل الملحيّة أعلى من مثيلاتها التي عرضت إلى المحاليل الحامضية .
- 3- كانت قيم معدلات التآكل في المدى المستقر (220hr) فأكثر في الأوساط الملحيّة أقل من قيم مثيلاتها التي حسبت في المحاليل الحامضية .
- 4- كانت معدلات التآكل الإجمالية ( $Cr_T$ ) للملمومات في المحاليل الحامضية أعلى من مثيلاتها المعرضة إلى المحاليل الملحيّة .
- 5- أظهرت الفحص للبني المجهري للملمومات المتآكلة تعرض مناطق اللحم وكذلك الجزء النحاسي المجاور لمنطقة اللحم عموماً إلى التآكل الموضعي (التقربي) في المحاليل الملحيّة والحامضية المستخدمة .

أثناء اللحام ، كما أن غاز الهيدروجين ( $H_2$  ) القادر من فوهه لحام الأوكسي أستيلين إنشاء اللحام تنتشر إلى داخل السبيكة وتفاعل مع أوكسيد النحاسيك المتكون أولاً ليكون الباخر كما في التفاعل أدناه :



لذا فقد تحتوي السبيكة على الغاز في بنيتها وبذلك تكون ضعيفة وهشة ( Michael )<sup>[22]</sup> ، هذه الأسباب مجتمعة أدت إلى تكوين هذه التشققات . لقد توسيع الفجوات الكبيرة نحو العمق وبصورة مستعرضة كما يظهر من الشكلين ( 21 ، 22 ) والتي بدأت بتكوين شق على هيئة حلقة متقطعة تحيط بالفجوة على مسافة من حافتها الأصلية ونفوذ محلول الحامضي من خلالها ومن مركزاً لفجوة إلى تحت الطبقة التحتية مؤدية إلى تأكل جزء من هذه الحلقة كمرحلة أولى كما يظهر في الشكل (21) ، مع استمرار تعريض العينة إلى محلول الحامض المحتوي على تركيز (2wt%  $H_2SO_4$  ) استمرت توسيع الفجوة الأصلية عمّا وبصورة مستعرضة كذلك تآكلت الحلقة المحيطة بها كما مبين في الشكل (22) ، بهذه الظاهرة الفريدة التي تم ملاحظتها في هذه الدراسة تلعب دوراً "خطيراً" في انهيار منطقة اللحم خصوصاً في منظومات التبريد التي تعبر خلال الأنابيب النحاسية المستخدمة فيها غاز التبريد تحت ضغوط عالية مما يؤدي إلى فشلها وتسرب غاز التبريد من خلالها عند تعريضها إلى الأجواء الرطبة الحامضية . لقد أصبح غالبية سطح الجزء النحاسي من الملمومة متآكلة وداكنة اللون بعد التعريض إلى محلول الحامضي لفترة كما مبين في الشكل (23) إذ

7. P.J. Karditsas et al, Copper corrosion and activation in water cooling loops under fusion irradiations",  
د. حسين باقر رحمه الله، "هندسة التآكل وحماية سطوح المعادن" مطبع التعليم العالي ، سطوح المعادن ، (1989) ص328-329.
- 9م هندس عادل شلش، "تأكل المعادن" الناشر دار الهارم ، القاهرة جم ع(1980) ص112,84.
10. Thomas R. Jack, NOVA Chemical Ltd., "Biological corrosion failures", (2002), P.3.
11. James E. Brumbaugh, "Welders guide and hand book" D.B. Tara. Porevala Sons and Co. PVT. LTD, Fourth Indian reprint, (1988). P. 703,705.
12. Andrew D. Thouse etal, "Modem Welding" fourth edition, The Good heart- Willcox. Co. Inc Publishers, Printed in (USA) (1980)P.454, 710
13. MARS G. Fontana, "Corrosion Engineering" second edition, McGrow- Hill, Inc. (USA), (1978), P. 236-237,269-270.
14. د. ابراهيم سالم منصور ، "هندسة التآكل و الطرق الفنية للتصدي له" ، دار الراتب الجامعية ، بيروت، ص218.
15. د. محمود عمر عبدالله وآخرون ، "الكيمياء الهندسية" وزارة التعليم العالي والبحث العلمي ، العراق ، الطبعة الاولى ، (1983). ص299.
- 6- ساد التآكل العام للجزء النحاسي من الملحومنات عند تعرضها للمحاليل الملحية الحامضية بتحول المناطق الألتوية إلى مساحات داكنة عند المناطق المجاورة لمنطقة اللحام والبعيدة عنها باتجاه النحاس من الملحومنة بعد فترة تعریض ( 220hr ) .
- المصادر
1. WWW. Key-to-Metals. Com , "Effects of composition processing and structure on properties of copper and copper alloys,(2005)P.1,2
  2. Busby metals, Inc I 55 Davids Drive I Hauppauge, NY 11788,P.1
  3. Kenneth R. Tarethewey etal, "Corrosion for Science and Engineering", Printed in Singapore second edition (1996), P.93, 114,120,353,356.
  4. S.B. ADELOJU et al, "The corrosion of copper pipes in high chloride –low carbonate mains water ", Corrosion Science Vol.26 , No.10 (1986),P.851- 870.
  5. O.Suwat PAITOONSURIKARN et al , "High Performance Heat Exchanger " , University of Tokyo Japan,P.2
  6. L.L. Shreir et al," Corrosion Metal /Environment Reactions " Vol. 1 ,Third Edition , Printed and bound in Great Britain, (2000),P.393-394,722.

20. يو. لاختين، " علم المعادن والمعاملات الحرارية للمعادن "، دار مير للنشر، موسكو (1983)، ص .423- 422
21. R.A.Higgins,"Engineering Metallurgy" Part 1, S/XTH Edition, Reprinted (1999), by Arnold (1999), P.387-388,390.
22. Michael J.Trzeinski, "Senior Industry Consultatant,Ohio,UAS, , P-8.
16. R.J. Oliphant,"CAUSES OF COPPER CORROSION IN PLUMBING SYSTEMS" ,Foundation for water Research ,U.K. P.31
17. Zuo Yuan Chen,"The Role of Particles on initial Atmospheric corrosion of copper and zinc, Royal Institute of Technology, Sweden (2005) P.29.
18. V.I. Posypaiko, "Analytical Chemistry in Metallurgy", Mir publisher, Moscow, (1984), P.69, 281-282.
19. E.C. Snbbarao etal, "Experiments in Materials Science", McGraw-Hill Book company, (USA), (1972).P.93- 94.

**جدول رقم (3) يوضح تصنيف تأكل الملحومنات في الدراسة الحالية في المحاليل المستخدمة**

تصنيف التأكل المستنبط من المصدر <sup>[16]</sup>		
معدلات التأكل (mpy)	الاستقرارية	رقم التأكل
(0.394-19.7)	Stable-Low stable)	(6- 3)
(3.94-19.7)	Stable/Ditto-Low stable	(6- 5)
ملحومنات الدراسة الحالية		
نوع الوسط	معدلات التأكل (Cr <sub>T</sub> )(mpy)	
(0.5-3)wt% NaCl	(0.851-4.97)	
(0.5-2)wt% H <sub>2</sub> SO <sub>4</sub>	(6.78-10.99)	

**الجدول رقم (1) : يبين التركيب الكيميائي لأقراص القصدير**

العنصر	النسبة الوزنية % (Max.)
As	0.0005
Pb	0.005
Bi	0.002
Cu	0.001
Fe	0.01
Zn	0.002
Cd	0.001
Sb	0.02
Sn	Remainder

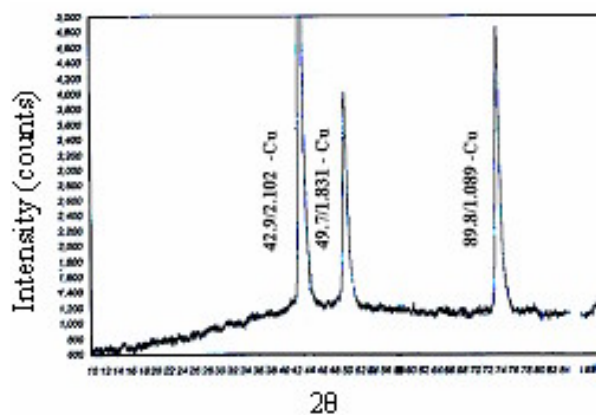
**جدول (2) يوضح أنواع وأساط التأكل وفترات عمر العينات (الكبيرة والصغيرة ) فيها**

-أ-

رقم العينة الكبيرة	الوزن الأولي (W <sub>0</sub> )g	نوع وسط التأكل	فتره التعريض (hr)	
1	4.913	0.5%NaCl	220	48 20
2	4.886	1.5%NaCl	220	48 20
3	4.869	3%NaCl	220	48 20
4	4.843	0.5%H <sub>2</sub> SO <sub>4</sub>	220	48 20
5	4.862	1%H <sub>2</sub> SO <sub>4</sub>	220	48 20
6	4.782	2%H <sub>2</sub> SO <sub>4</sub>	220	48 20

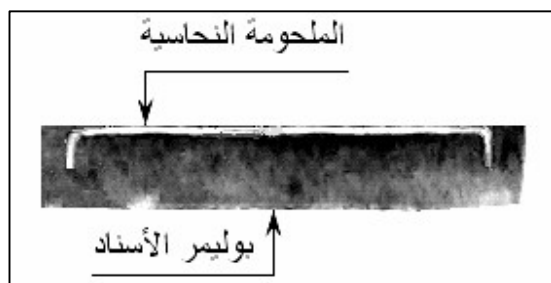
-ب-

رقم العينة الصغيرة	نوع وسط التأكل	فتره التعريض (hr)
1	0.5%NaCl	220
2	1.5%NaCl	220
3	3%NaCl	220
4	0.5%H <sub>2</sub> SO <sub>4</sub>	220
5	1%H <sub>2</sub> SO <sub>4</sub>	220
6	2%H <sub>2</sub> SO <sub>4</sub>	220

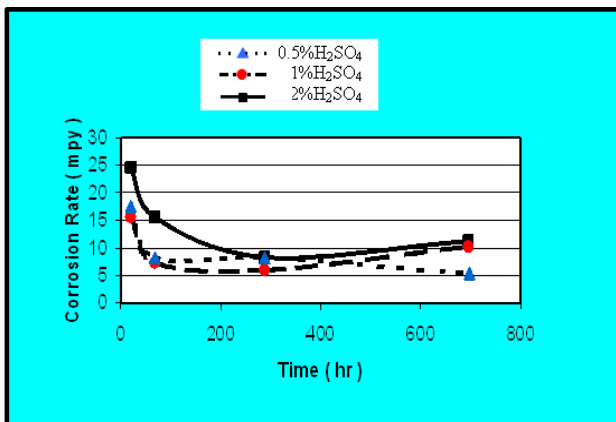


28

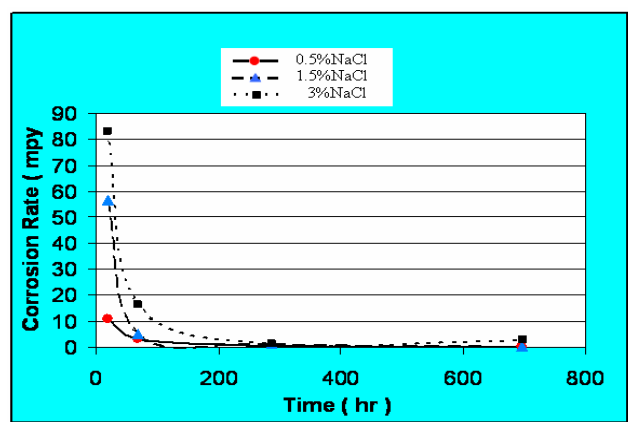
**شكل (1) يوضح نتائج التحليل بحبيبات الأشعة السينية XRD للبلاستيك النحاسي المستخدم في الدراسة الحالية**



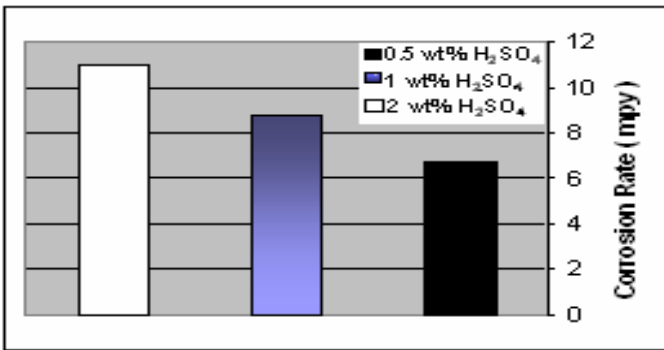
**شكل (2) يوضح كيفية تثبيت الملحومة النحاسية في بوليمر الأسنان**



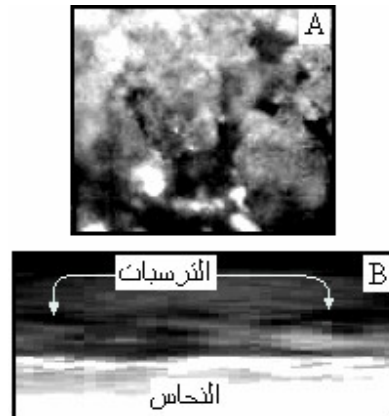
شكل (6) يوضح سلوك تأكل الملحومنات النحاسية المعرضة



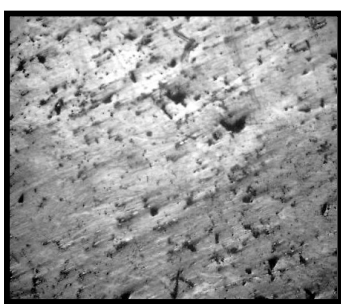
شكل (3) يوضح سلوك تأكل الملحومنات النحاسية في المحاليل الملحوية المختلفة على مختلف التراكيز



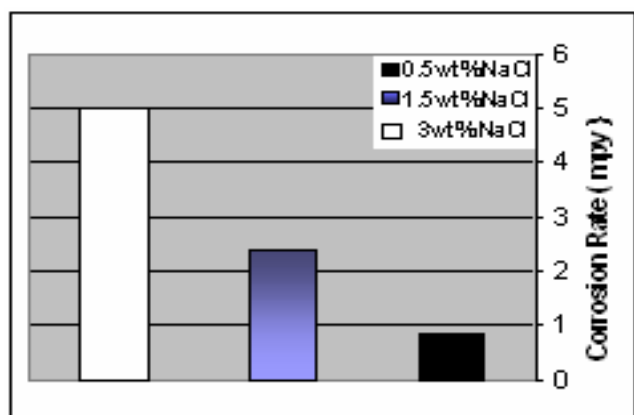
شكل (7) يوضح معدلات التأكل الإجمالية ( $Cr_T$ ) للملحومنات المعرضة إلى المحاليل الحامضية المختلفة على تراكيز المينة اعلاه من ( $H_2SO_4$ ) لفترة (.696)hr.



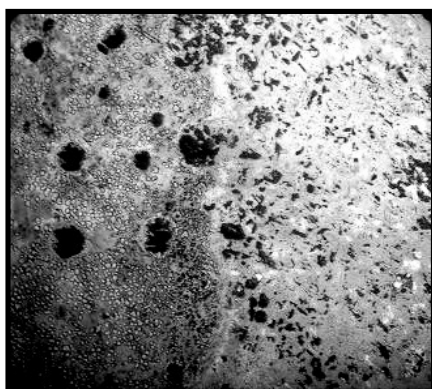
شكل (4):(A) يوضح مظهر الترسبات على سطح الملحومنات المغمورة في المحاليل الملحوية .B مقطع عرضي لهذه الترسبات 500X.



شكل(8) يوضح سطح الانبوب النحاسي بدون الاظهار قوة تكبير 100X



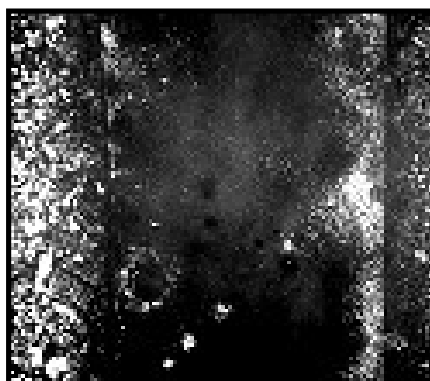
شكل (5) يوضح معدلات التأكل الإجمالية ( $Cr_T$ ) للملحومنات المعرضة إلى المحاليل الملحوية المختلفة على NaCl بالتراكيز المبينة اعلاه لفترة (.696)hr.



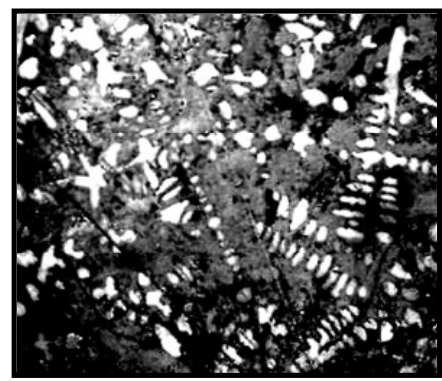
شكل (12) يوضح الملحومة النحاسية المعرضة الى المحلول الملحي المحتوى على (1.5wt%NaCl)  
قوة التكبير 100X



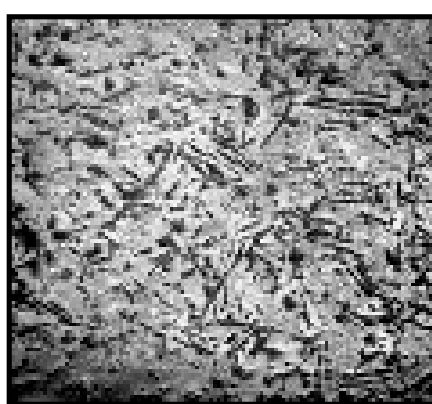
شكل (9) يوضح سطح الانبوب النحاسي بعد الأظهار و قبل التعريض للتآكل قوة تكبير 100X



شكل (13) يوضح الملحومة النحاسية المعرضة الى المحلول الملحي المحتوى على(3wt%NaCl)  
قوة التكبير 100X



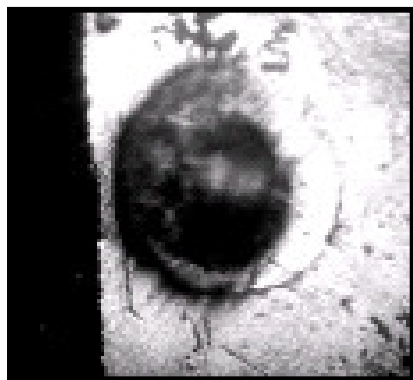
شكل(10) يوضح البنية المجهرية لمنطقة اللحام بعد الإظهار و قبل التعريض للتآكل قوة تكبير 100X



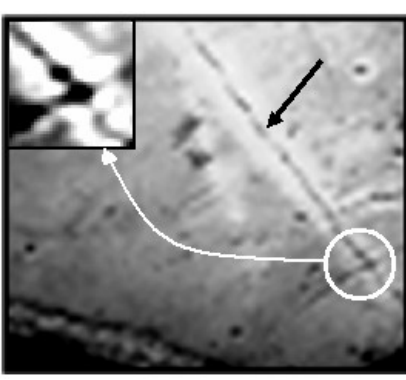
شكل (14) يوضح الجزء النحاسي البعيد من منطقة اللحام المعرضة إلى المحلول الملحي المحتوى على (0.5wt%NaCl)  
قوة التكبير 100X



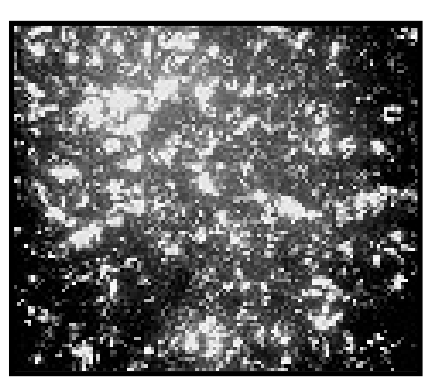
شكل(11) يوضح الملحومة النحاسية المعرضة الى المحلول الملحي المحتوى على (0.5wt%NaCl)  
قوة التكبير 100X



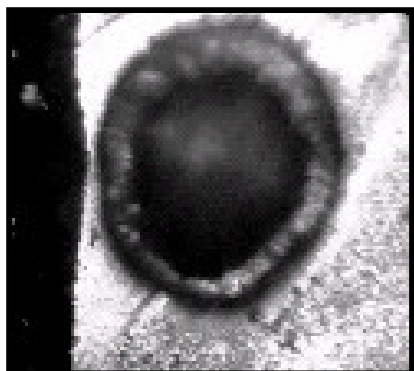
شكل(21) يوضح توسيع الجزء اليسير من الفجوة نتيجة تأكلها عند التعريض إلى محلول الحامضي قوة التكبير 200X.



شكل(18) يوضح تكوين التشققات الطويلة في منطقة اللحم المعرضة إلى محلول الملحي المحتوى على محلول الحامضي قوة التكبير 100X



شكل (15) يوضح الجزء النحاسي البعيد من منطقة اللحم المعرضة إلى محلول الملحي المحتوى على (3wt%NaCl) قوة التكبير 100X



شكل(22) يوضح اكتمال التوسيع المستعرض وباتجاه العمق للفجوة نتيجة تأكلها عند التعريض إلى محلول الحامضي قوة التكبير 200X



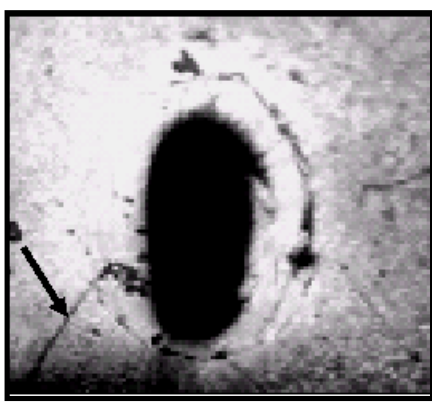
شكل(19) يوضح تشققات اللحم المتكونة على سطح ملحومة أخرى قوة التكبير 500X



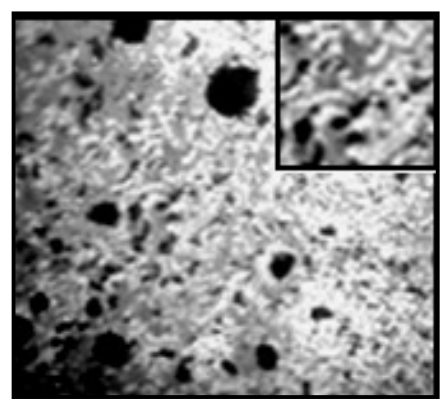
شكل (16) يوضح الملحومة النحاسية المعرضة إلى محلول الحامضي المحتوى على (2wt%H<sub>2</sub>SO<sub>4</sub>) قوة التكبير 100X



شكل(22) يوضح اكتمال التوسيع المستعرض وباتجاه العمق للفجوة نتيجة تأكلها عند التعريض إلى محلول الحامضي قوة التكبير 200X



شكل(20) يوضح تكون الفجوات الكبيرة في منطقة اللحم وكيفية تكوين وانتشار الشقوق الطويلة من حافتها قوة التكبير 200X



شكل(17) يوضح النقر المتكونة في منطقة اللحم للملحومة المعرضة إلى محلول الحامضي بتركيز (2wt%H<sub>2</sub>SO<sub>4</sub>) قوة التكبير 100X

## CORROSION OF COPPER WELDMENTS IN SALTY AND ACIDIC SOLUTIONS

Jawdat A. Yackaub  
Lecturer

Faris M. Rofa  
Lecturer  
Technical College/ Kirkuk

Ehsan F. Abbas  
Assistant Lecturer

### ABSTRACT

The present study is conducted by exposing copper weldment specimens which were prepared by oxy-acetylene welding operation for copper tube by using tin-bronze alloy as a filler metal , to salty and acidic aqueous solutions containing respectively (0.5, 1.5 and 3) wt% NaCl and (0.5, 1 and 2) wt% $H_2SO_4$ . The corrosion behavior of weldments showed a general decrease in corrosion rates in salty solutions with increasing of exposure time . The same thing happened to the weldment specimen which was exposed to the acidic solution containing (0.5) wt% $H_2SO_4$ , while the corrosion rate of the weldments which exposed to the acidic solution containing (1 and 2)wt% $H_2SO_4$  was dropped during the first (288 hr) of exposure then a relative increase was observed by increasing the exposure time. Also the results of the calculated total corrosion rates ( $Cr_T$ ) indicated higher value for the weldments exposed to acidic solution if they compared with those values obtained with salty solution for (696 hr) exposure. Further more; the examinations by optical microscope for the weldments indicated presence of pitting corrosion at welding zones by exposing the weldment to both salty and acidic solutions, while the general corrosion had a moderate appearance of the cupric part for weldments tested by these two solutions.

**KEY WORDS:** copper weldments, corrosion copper in salty solutions and acidic solution

This document was created with Win2PDF available at <http://www.win2pdf.com>.  
The unregistered version of Win2PDF is for evaluation or non-commercial use only.  
This page will not be added after purchasing Win2PDF.